

расходуются O_2 , H_2 , HCN , C_2H_2 , HCl . Излом на кривой теплобыдления рис. 6 при $T \approx 1550$ К характеризуется максимумом концентрации CO . На второй стадии ($T \approx 1550 \div 2600$ К) образуются H_2O , CO_2 , HCl , частично расходуются O_2 , H_2 , CO , а полностью — HCN , C_2H_2 . Типичная зависимость $\ln k_f$ от T , p и n приведена на рис. 6 для $\alpha_{O_2} = 0,2$, $\alpha_{HCN} = 0,05$. Сильное влияние давления обусловлено принятым постоянным порядком $n = 1,93$; для переменного порядка $\ln k_f$ слабо зависит от давления.

Рекомендуемые термокинетические параметры приведены в табл. 2. Отношение значений рекомендованной константы скорости к значениям k_f , приведенным на рис. 6, для $20 \leq p \leq 100$ атм и $n = 1,93$ не превышает число e .

ЛИТЕРАТУРА

- Бекстед М. В., Дэрр Р. Л., Прайс С. Ф. Модель горения смесевого ТРТ, базирующаяся на нескольких типах пламени // РТК.—1970.—8, № 2.—С. 107—117.
- Гайрао С., Вильямс Ф. А. Модель процесса дефлаграции перхлората аммония при давлении 196—981 Па/см² // Там же.—1971.—9, № 7.—С. 164—179.
- Козин И. С., Стрэнд Л. Д. Уточненная модель горения смесевых твердых топлив на основе перхлората аммония // Аэрокосм. техника.—1983.—1, № 7.—С. 100—112.
- Coffee T. P., Kollar A. J., Miller M. S. The overall reaction concept in premixed, laminar, steady-state flames. I. Stoichiometries // Combust. Flame.—1983.—54, N 1—3.—P. 155—169.
- Coffee T. P., Kollar A. J., Miller M. S. The overall reaction concept in premixed, laminar, steady-state flames. II. Initial temperatures and pressures // Ibid.—1984.—58, N 1.—P. 59—67.
- Зельдович Я. Б., Баренблагт Г. И., Либрович В. Б. и др. Математическая теория горения и взрыва.—М.: Наука, 1980.
- Miller M. S., Kollar A. J., Coffee T. P. et al. The overall reaction concept in combustion modeling.—Milano (Italy), 1990.
- Ермолин И. Е., Коробейничев О. П., Терещенко А. Г. и др. Моделирование кинетики и механизма химических реакций в пламени перхлората аммония // Хим. физика.—1982.—№ 12.—С. 1711—1717.
- Miller J. A., Bowman C. T. Mechanism and Modeling of nitrogen chemistry in combustion // Progr. in Energy and Combustion Sci.—1989.—15.—P. 287—338.
- Коробейничев О. П., Чернов А. А., Емельянов И. Д. и др. Исследование кинетики и механизма химических реакций в пламени смесевого состава на основе ПХА и полибутидепеноового каучука // ФГВ.—1990.—26, № 3.—С. 46—55.
- Коробейничев О. П., Ермолин И. Е., Чернов А. А. и др. Структура пламени, кинетика и механизм химических реакций смесевого состава на основе перхлората аммония и полибутидепеноового каучука // Там же.—1992.—28, № 4.—С. 53—59.
- Коробейничев О. П., Терещенко А. Г., Шварцберг В. М. и др. Исследование структуры пламени слоевых систем на основе ПХА // Там же.—1990.—26, № 2.—С. 53—58.

г. Новосибирск

Поступила в редакцию 16/VII 1992

УДК 532.529

А. Н. Пожарский, А. Г. Иванов

ВЗРЫВНОЕ ИНИЦИРОВАНИЕ БЫСТРОГО КОНВЕКТИВНОГО ГОРЕНИЯ В ЗАМКНУТОМ ОБЪЕМЕ

Экспериментально исследовано взрывное инициирование зерпеной пироклетчатки, проходящее в режимах быстрого конвективного горения и низкоскоростной детонации, отличающееся повышенной интенсивностью и стабильностью. Определены основные закономерности процесса воспламенения.

Конвективное горение (КГ) — наиболее нестабильная стадия в процессе перехода горения пористых ВВ в детонацию. Проведенные в последнее время исследования переходных процессов горения дисперсных

© А. Н. Пожарский, А. Г. Иванов, 1993.

систем носят ограниченный характер, что обусловлено прежде всего использованием для воспламенения насыпных зарядов традиционных средств «огневого» действия, а также относительно малыми размерами исследуемых частиц ВВ и заряда в целом [4—4]. При этом воспламенение происходит в режимах медленного КГ и отличается заметной нестабильностью. Говоря об известных исследованиях перехода инициирующей ударной волны (УВ) в детонационную с последующим догоранием дисперсных вторичных ВВ [5], необходимо отметить существенное отличие указанных процессов по своей физической сути и прежде всего механизму передачи энергии от воспламенения через конвективное горение. Оперирование только УВ, исключающее продукты взрыва (ПВ), требует создания специальных ударно-волновых генераторов, что осложняет практическое применение данного способа.

В предлагаемой работе с помощью одновременной оптической, электрооптической и пьезометрической регистраций проведены исследования развития быстрого конвективного горения зерненой нитроклетчатки насыпной плотности, помещенной в замкнутую стальную цилиндрическую оболочку. Для воспламенения использовались традиционные воспламенители типа электро- и капсюльные воспламенители, а также новый способ взрывного инициирования на основе детонации заряда бризантного пластического ВВ (ПВВ) в форме диска с диаметром, примерно равным диаметру насыпного заряда, размещенного в его поперечном сечении.

Исследования проведены для широкого диапазона размера зерна, характеризуемого диаметром эквивалентной сферы d_s и удельной поверхностью $S_{уд}$:

d_s , мм	0,7	1,3	2,4	5,1	8,3	9,2
$S_{уд}$, м ² /кг	5,5	4,1	2,3	1,4	0,8	0,7

(зерна с $d_s = 0,7 \div 5,1$ мм содержат ингибитор, снижающий константу скорости послойного горения наружных слоев в $\sim 1,8$ раза). Диаметр пористой системы (заряда) $d = 12 \div 144$ мм и длина $l \approx 100 \div 900$ мм.

В предлагаемой работе, по-видимому, впервые исследуются переходные процессы воспламенения насыпных зарядов нитроклетчатки через взрыв заряда-инициатора из бризантного ВВ, размещенного непосредственно в насыпном заряде. Поэтому достаточно большой объем эксперимента и широкий круг вопросов, связанных с взрывным инициированием, представлены в сжатой форме. Последующие публикации могут содержать более подробный анализ отдельных физических аспектов изучаемого явления. Изучению переходных процессов во вторичных ВВ посвящены работы [6, 7].

Методика эксперимента

В моделях с $d = 12$ и 20 мм инициатор размещался у донного торца насыпного заряда внутри прочной заглушки, с противоположной стороны заряда устанавливался латунный поршень удельной массой $m_{уд} = 100$ г/см².

В моделях диаметром 23, 26, 30, 40, 100, 114 и 144 мм инициатор размещался в одном из поперечных сечений насыпного заряда, ограниченного по торцам алюминиевыми поршнями с $m_{уд} = 10, 10^2$ и 10^3 г/см² в различных комбинациях. Для детонации инициатора использовался стандартный электродetonатор мостикового типа на основе тэна, установленный в контакте с ПВВ. Плотность засыпки составляла 0,89—0,90 г/см³, т. е. была близка к гравиметрической.

При использовании оптической методики, отличающейся наибольшей простотой среди известных способов, за фронтом пламени следили с помощью высокоскоростного фоторегистратора (СФР) по свечению пороховых газов через радиальные отверстия (диаметром 1,8 и 4 мм) или продольную щель с заглушкой из прозрачного оргстекла в стенке камеры. Для независимой проверки результатов оптической регистрации

использовалась электрооптическая методика [8] с применением датчиков ионизационного действия или контактных, вводимых в заряд через отверстия в стенке или метаемом поршне. Последний способ позволял исследовать неравномерность распределения скорости движения фронта пламени по сечению заряда. Кроме того, сравнение результатов регистрации по двум методикам дает возможность судить о предполагаемом опережении фронта горения волной сжатия. В эксперименте с электровоспламенителем, отличающимся большей продолжительностью процесса, использовалась электроконтактная методика с применением цифрового регистратора временных интервалов АР10-60.

С помощью разработанного на основе стандартных кварцевых датчиков (ПДД-2) поршневого способа измерялись давления в волне сжатия на фронте воспламенения и газов — при послойном горении зерен. Погрешность измерений: давление $\pm 15\%$, скорость и время процесса воспламенения $\pm 5\%$, скорость метания $\pm 1\%$.

Результаты экспериментов и их обсуждение

При анализе результатов эксперимента физический характер процесса конвективного горения или низкоскоростной детонации (НСД) определялся на основе имеющихся экспериментальных данных [9], согласно которым смена конвективного режима волновым происходит при скоростях воспламенения 700—800 м/с. В данной работе значение приведенной характеристики было косвенно подтверждено в экспериментах с переходом стабилизированных режимов КГ в НСД скачком скорости (рис. 1).

Типичные фотограммы процесса воспламенения при взрывном инициировании в режиме КГ, переходящего в НСД скачком скорости с $W_{КГ} = 750$ и 760 м/с до $W_{НСД} = 1110$ и 1240 м/с, представлены на рис. 2, 3 и плавно до $W_{НСД} = 1200$ м/с — на рис. 4.

Неравномерность свечений, заметная на фотограмме рис. 2 в зоне КГ, может быть связана с наличием пульсаций или нарушением фронтального характера горения, но более вероятны методические причины: недостаточно яркое свечение и возможное перекрытие отдельным зерном регистрационного отверстия в стенке камеры. Подтверждением тому

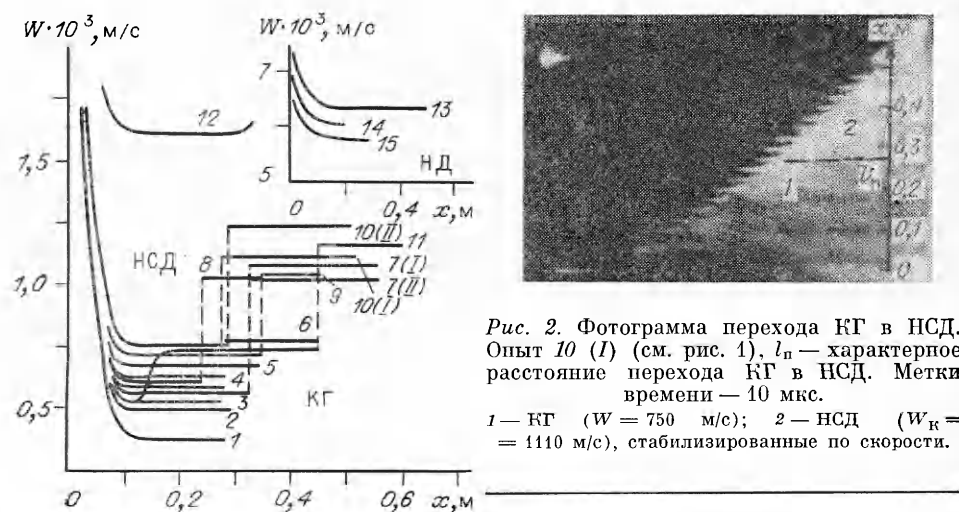


Рис. 2. Фотограмма перехода КГ в НСД. Опыт 10 (I) (см. рис. 1), l_n — характерное расстояние перехода КГ в НСД. Метки времени — 10 мкс.

1 — КГ ($W = 750$ м/с); 2 — НСД ($W_{КГ} = 1110$ м/с), стабилизированные по скорости.

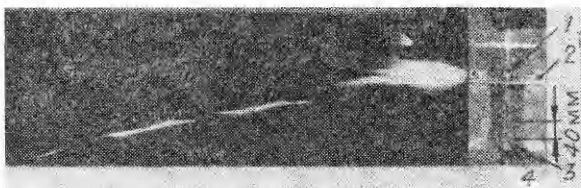
Рис. 1. Изменение скорости воспламенения (взрывное инициирование) по длине заряда при $d = 100 \div 150$ мм, $\delta_i = 1$ мм (1—11, 13—15) и 0,3 мм (12). d_2 , мм: 1, 3—7 — 9,2, 2, 9—14 — 8,3, 8, 15 — 5,1; I — оптическая методика; II — электрооптическая (в опытах 2, 8—11, 13—15 применена стабилизирующая прослойка толщиной 20 мм из зерна с $d_2 = 9,2$ мм).



Рис. 3. Электрооптическая регистрация перехода КГ в НСД. Опыт 10 (II) (см. рис. 1). Метки времени — 1 мкс, r — радиус заряда, между соседними датчиками расстояние 20 мм.

Рис. 4. Фотограмма плавного перехода КГ в НСД. Опыт 6 (см. рис. 5). Метки времени — 1 мкс.

1 — нуль-отметчик электродетонатора; 2 — экран; 3 — камера; 4 — щель в стенке камеры.



служит отсутствие заметных пульсаций фронта горения при регистрации через сплошную щель камеры (см. рис. 4).

Из анализа экспериментальных зависимостей роста скорости процесса по длине системы при $d = 12$ мм (рис. 5) следует, что при взрывном инициировании воспламенение происходит в режиме НСД, близком к стабилизированному ($W_k \approx 1300 - 1600$ м/с), и значительно (\sim в 3 и 6 раза) быстрее, чем с капсюльным и электрическим воспламенителями, когда процесс идет в режиме слабоускоряющегося КГ с конечными скоростями 550 и 250 м/с соответственно. Поскольку взрывной инициатор был меньше навески воспламенительного состава при электровоспламенении на порядок по массе и в $\sim 2,5$ раза по теплосодержанию, следует полагать, что увеличение интенсивности процесса связано с введением более мощного ударно-волнового механизма передачи энергии от воспламенителя к нитроклетчатке, характеризуемого повышенными начальными значениями давлений и температуры газов.

Эксперименты с постановкой между взрывным инициатором и нитроклетчаткой прокладки из малоплотного пенопласта, позволяющей в несколько раз снизить амплитуду УВ, показали, что при взрывном инициировании режим воспламенения определяется совместным воздействием на систему УВ и продуктов взрыва (ПВ) инициатора, причем ведущая роль принадлежит ПВ.

Проанализируем влияние на интенсивность процесса воспламенения при взрывном инициировании величины инициирующего импульса, размеров или удельной поверхности зерна, диаметра и длины заряда.

Роль инициирующего импульса возрастает с уменьшением размера зерна (рост $S_{уд}$) и увеличением диаметра системы. К примеру, с увеличением массы инициатора в системах малого диаметра в 3,5—4,0 раза при $S_{уд} = 4,1$ м²/кг время процесса снизилось в 2,5 раза, тогда как при $S_{уд} = 2,3$ м²/кг — только на $\sim 20\%$.

Весьма существенно возрастает интенсивность воспламенения с

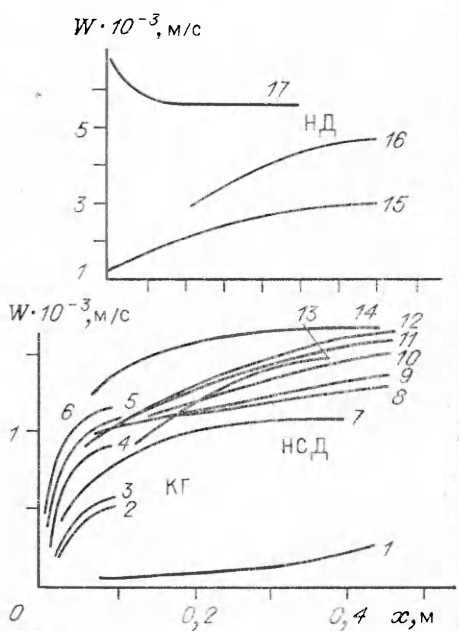


Рис. 5. Изменение скорости воспламенения по длине заряда, использованы электрический (1), капсюльный (2) и взрывной (3—17) воспламенители.

Толщина диска взрывного инициатора δ_i , мм: 3—1 — 0,25, 4—15 — 0,5, 5—9, 11—14, 16—1; d_0 , мм: 1—8, 12—2,4, 2—6—1,3, 7, 13, 14, 17—5,1, 15, 16—0,7; d , мм: 1—4, 6—12, 15, 16—12, 5—20, 13—23, 14—26, 17—30.

уменьшением размера зерна, что объясняется ускоренным газообразованием и горением за фронтом пламени, связанным с большей $S_{уд}$ мелкого зерна. Так, для зарядов с $d = 12$ мм при увеличении удельной поверхности с 1,4 до $5,5 \text{ м}^2/\text{кг}$ режим НСД ($W_k = 1000 \text{ м/с}$) сменяется нормальной детонацией нитроклетчатки ($D = 4600 \text{ м/с}$).

При $d > 20\text{--}30$ мм (см. рис. 1) изменяются характер и интенсивность начальной стадии процесса. Вместо конвективного горения, самоускоряющегося от $W \approx 100 \div 200 \text{ м/с}$ до близкой к стабилизированной НСД с $W_k = 1000 \div 1500 \text{ м/с}$, наблюдается интенсивная фильтрация ПВ инициатора в глубь заряда на расстояния 50—100 мм. В ходе фильтрации продукты тормозятся от начальной скорости $\sim 7500 \text{ м/с}$ до некоторых стабильных значений, которые в зависимости от размеров зерна (или $S_{уд}$), величины инициирующего импульса и длины заряда изменяются от 5800—6300 м/с при нормальной детонации до 500—600 м/с для КГ. Повышение интенсивности и изменение характера процесса объясняются возросшей газопроницаемостью пористой системы, связанной с увеличением размера пор и ростом относительного числа крупных пор в поперечном сечении заряда, т. е. снижением термозящего эффекта пристеночной области. Влияние последнего фактора убедительно подтверждается изменением интенсивности процесса в экспериментах с одинаковым зерном и различным диаметром заряда.

Достаточно эффективен при взрывном инициировании диск-инициатор толщиной $\delta_i = 1$ мм. Такой размер технологичен и в несколько раз превышает критическое значение по распространению детонации в тонком слое ПВ.

Заряд с $d > 100$ мм из зерен с $d_z = 9$ мм ($S_{уд} = 0,7 \text{ м}^2/\text{кг}$) воспламеняется от инициатора с $\delta_i = 1$ мм в режиме стабильного КГ при $W_k = 500 \div 700 \text{ м/с}$ в зависимости от длины заряда l , если $l \leq l_n = 300$ мм. При $l > l_n$ КГ переходит в режим стабилизированной НСД скачком скорости до $W_k = 800 \div 1300 \text{ м/с}$ (также в зависимости от l). В экспериментах не удалось выявить количественных зависимостей $l_n(l)$ и $l(S_{уд})$.

Качественные результаты согласуются с выводами [4] об увеличении пространственной протяженности стадий КГ и длины преддетонационного участка с ростом размера зерна. Однако в отличие от работы [4] показано, что скорость стабилизированных режимов также непостоянна: она тем выше, чем мельче зерно или длиннее заряд. Необходимо отметить, что авторы [4] подчеркивали приближенность выводов о независимости скорости процесса от размера частиц и начальной пористости, объясняя полученный ими «эффект подобия» как результат взаимной компенсации влияния на скорость процесса соотношений между скоростями фильтрации газов, распространения фронта пламени и движения зерен ВВ. Заряды из более мелких зерен с $d_z = 8,1$ и 5 мм ($S_{уд} = 0,8$ и $1,4 \text{ м}^2/\text{кг}$) от того же инициатора ($\delta_i = 1$ мм) детонируют с $D = 6,3$ и $5,58 \text{ км/с}$, что свидетельствует о газообразном характере начальной стадии процесса и последующем развитии НД в твердой фазе.

Целесообразно при описании воспламенения использовать удельную поверхность зерна как наиболее универсальную характеристику, учитывающую наряду с линейными размерами и его геометрическую форму.

В проведенных экспериментах для зарядов с $d > d_{np} \geq 20$ мм установлена критическая удельная поверхность зерна нитроклетчатки $S_{уд}^* = 0,8 \text{ м}^2/\text{кг}$, по достижении которой возникает нормальная детонация заряда непосредственно от влияния ПВ инициатора. Величина d_{np} растет с уменьшением $S_{уд}$, и в исследованном диапазоне $S_{уд} = 5,5 \div 0,8 \text{ м}^2/\text{кг}$ $d_{np} = 10 \div 40$ мм (рис. 6).

Экспериментально отработан эффективный способ стабилизации воспламенения зарядов из зерна с $S_{уд} \geq 0,8 \text{ м}^2/\text{кг}$ ($d_z \leq 8,1$ мм) с применением стабилизирующей прослойки из зерна с $S_{уд} \leq 0,7 \text{ м}^2/\text{кг}$. Толщина про-

слойки составляет величину порядка длины зерна. Важно отметить, что при $d = 100 \div 150$ мм, когда диаметр заряда более чем на порядок превышает характерный размер зерна, интенсивность воспламенения не зависит от d .

Наибольшие давления на фронте волны сжатия $p_{\phi} = 0,3$ ГПа, зарегистрированные для систем с $d = 20$ мм и $l = 200 \div 250$ мм, наблюдаются в зоне влияния ПВ инициатора ($l \approx 20$ мм), где волна сжатия имеет характерный спад за фронтом, который уменьшается с продвижением по длине заряда так, что на конечном участке ($l \geq 150$ мм) волна имеет платообразный профиль. Для систем малого и большого диаметров амплитуда волны сжатия, приходящей на поршень, в случае НСД с $W_k = 1200 \div 1400$ м/с $p_{\phi} = 0,25 \div 0,30$ ГПа и 0,16 ГПа при КГ с $W_k = 610$ м/с; время нарастания давлений на фронте в обоих случаях ~ 40 мкс. Типичная осциллограмма давлений представлена на рис. 7.

При достаточно большой длине заряда возможен переход НСД в неустойчивый режим с образованием на фронте УВ и далее нормальной детонации. Критические значения параметров перехода составляют: $W'_k = 1700$ м/с и $p'_{\phi} > 0,3$ ГПа, что хорошо согласуется с данными работ [4, 10] по изучению переходных процессов в подобных пористых системах при воспламенении от традиционных средств огневого действия, где $W'_k \approx 2000$ м/с и $p'_{\phi} \approx 1$ ГПа. Поэтому в качестве критерия стабильного воспламенения в режиме НСД принята величина скорости процесса $W_k = 1500$ м/с. С использованием установленного критерия по данным эксперимента построена графическая зависимость $l_{\text{пр}}(S_{\text{уд}})$ (рис. 8), хорошо аппроксимируемая выражением $l_{\text{пр}} = a(S_{\text{уд}} + b)^{-1}$, где a и b — постоянные эмпирические коэффициенты, зависящие от $S_{\text{уд}}$ и d .

Таким образом, экспериментально исследован новый способ взрывного инициирования зерненои нитроклетчатки, который в отличие от традиционных воспламеняющих средств огневого действия позволяет существенно интенсифицировать и одновременно стабилизировать про-

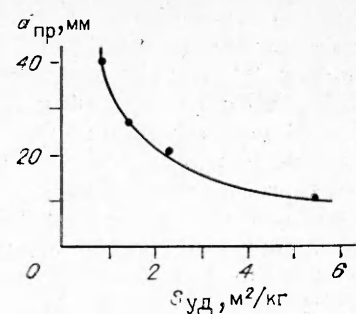


Рис. 6. Зависимость $l_{\text{пр}}(S_{\text{уд}})$.

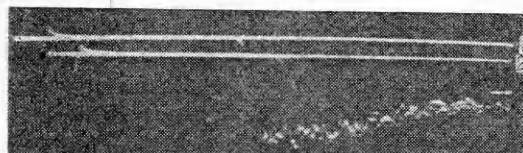


Рис. 7. Осциллограмма давлений в волне сжатия КГ; $W_k = 600$ м/с (1, 2 — номера датчиков). Время полной развертки 1 мс. Масштаб 11,5 МПа/мм.

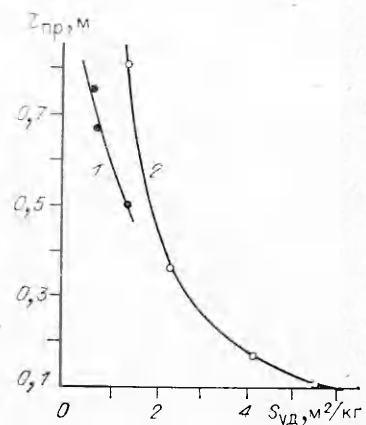


Рис. 8. Зависимость $l_{\text{пр}}(S_{\text{уд}})$.

$$1 - l_{\text{пр}} = 1,25 (S_{\text{уд}} + 1)^{-1}, \quad 2 - l_{\text{пр}} = 0,53 (S_{\text{уд}} - 0,8)^{-1}.$$

цесс воспламенения и проводить его, в том числе для крупномасштабных систем ($d \times l \approx 150 \times 800$ мм), в стабилизированных смежных режимах КГ и НСД при характерных скоростях процесса соответственно 500—700 и 1000—1500 м/с.

Изучено влияние на интенсивность процесса основных исходных параметров пористой системы. Количественно определены критерии возможного перехода волнового горения в нормальную детонацию и соответствующие зависимости предельных расстояний инициирования от удельной поверхности зерна в широком диапазоне $S_{уд} = 0,7 \div 5,5$ м²/кг. Отработан способ стабилизации воспламенения, исключающий переход к НД систем диаметром, большим некоторого предельного, состоящих из зерен с удельной поверхностью, превышающей критическую величину.

ЛИТЕРАТУРА

1. Davis T. K., Kuo K. K. // J. Spacecraft and Rockets.— 1979.— 16, N 4.— P. 203.
2. Davis T. K., Kuo K. K. // AIAA J.— 1977.— 8, N 1.— P. 854.
3. Фотеенков В. А., Коротков А. И. и др. Распространение конвективного горения в зарядах насыпной плотности // ФГВ.— 1982.— 18, № 2.— С. 137.
4. Сулимов А. А., Ермолаев Б. С., Коротков А. И. и др. Закономерности распространения волн конвективного горения в замкнутом объеме // Там же.— 1987.— 23, № 6.— С. 9.
5. Постнов В. И., Соловьев В. С. // Химическая физика процессов горения и взрыва. Детонация.— Черноголовка, 1977.— С. 65.
6. Болотов А. А., Ловягин Б. М., Манулов И. А. и др. 50-канальный генератор световых импульсов // Приборы и техника эксперимента.— 1975.— № 3.— С. 198.
7. Беляев А. Ф., Боболов В. К., Коротков А. И. и др. Переход горения конденсируемых систем во взрыв.— М.: Наука, 1973.

г. Арзамас

Поступила в редакцию 22/XII 1989,
после доработки — 2/XI 1992

УДК 662.21 : 541.15

С. М. Рябых, В. П. Жуланова

ПОВЫШЕНИЕ ЧУВСТВИТЕЛЬНОСТИ ФУЛЬМИНАТА РТУТИ ПРИ ОБЛУЧЕНИИ

Изучено изменение температуры вспышки и чувствительности к удару гремучей ртути при облучении γ -лучами Co^{60} и импульсными электронами. В интервале поглощенных доз $(1\text{--}5) \cdot 10^5$ Ги повышается чувствительность гремучей ртути. Отмечено изменение свойств гремучей ртути в процессе хранения облученных образцов. Показано изменение ИК-спектра при облучении.

Фульминат ртути — один из наиболее известных инициирующих взрывчатых веществ (ВВ). В [1] подробно исследовано влияние различных факторов на температуру и время задержки взрыва. Показано, что время задержки вспышки гремучей ртути, предварительно прогретой при температурах, больших температуры начала термического разложения, меньше, чем у исходных образцов. Там же отмечено, что гремучая ртуть, прогретая при 75 °C в течение 94 дней, становится нечувствительной к удару и не взрывается при прогреве до 170 °C. Исходные образцы гремучей ртути взрываются уже при 235 °C через 40 мин прогрева.

Однако таких же подробных исследований изменений гремучей ртути при облучении не проводилось. В работе [3] приведены результаты облучения инициирующих ВВ горячими и быстрыми нейтронами. Гремучая ртуть под пучком нейтронов не взрывалась. В [4] показано, что в основном все ВВ стабильны к воздействию радиации и при облучении γ -лучами Au^{198} с энергией 0,41 МэВ изменение взрывчатых

© С. М. Рябых, В. П. Жуланова, 1993.